

ного поворота архимедовы силы срывают равновесие, возникает поток от середины подогреваемой грани, что сложным образом возмущает жидкость в полости. Через несколько секунд сложные течения сменяются ламинарным, принимающим через несколько минут стационарный характер. При переходе 3 реализуется первое течение, переходе 7 — второе или первое. При этом из-за подъема горячей и опускания холодной жидкостей верхняя холодная грань полости нагревается, нижняя горячая — охлаждается, а потенциальная энергия жидкости в поле силы тяжести уменьшается. Уменьшение разности температур ΔT_2 между гранями полости вызывает увеличение разностей температур ΔT_1 и ΔT_3 между гранями прикрывающих полость пластиин. Незначительное уменьшение их суммарной разности вызывается некоторым уменьшением полного теплового сопротивления блока из-за конвекции в полости. Рост потока тепла через пластины и полость происходит, таким образом, при уменьшении переноса тепла чистой теплопроводностью жидкости. Отсюда следует, что при заданной разности температур между гранями массива изменение переноса тепла возмущенным движением жидкости больше по абсолютной величине, но противоположно по знаку изменению переноса тепла ее теплопроводностью (линии 1—9).

Автор благодарит Г. Ф. Шайдурова за руководство работой.

Поступила 23 VIII 1966

ЛИТЕРАТУРА

- Ландау Л. Д. К проблеме турбулентности. Докл. АН СССР, 1944, т. 44, № 8, стр. 339—342.
- Ландау Л. Д., Лифшиц Е. М. Механика сплошных сред. Гостехиздат, 1953, § 26—27, стр. 127—134.
- Сорокин В. С. О стационарных движениях жидкости, подогреваемой снизу. ПММ, 1954, т. 18, вып. 2, стр. 197—204.
- Dopnelly R. J. Experimental confirmation of the Landau law in Couette flow. Phys. Rev. Letters, 1963, vol. 10, No. 7, p. 282—284.
- Монин А. С., Яглом А. М. Статистическая гидромеханика, ч. 1. 1965, Издво «Наука», стр. 136—161.

ОСОБЕННОСТИ ДИНАМИКИ СФЕРИЧЕСКОГО ГАЗОВОГО ПУЗЫРЬКА В ЖИДКОСТИ

В. Е. Кедринский (Новосибирск)

Для большинства задач, связанных с динамикой жидкости, содержащей пузырьки газа, существенное значение имеет характер пульсации отдельных пузырьков. Дополнительное поле давления, определяемое этими пульсациями, во многих случаях оказывает решающее действие на общее состояние пузырьковой среды. Ниже остановимся на некоторых особенностях пульсации сферического газового пузырька в сжимаемой и несжимаемой жидкостях.

1. В несжимаемой жидкости движение стенки сферического пузырька без учета вязкости определяется уравнением

$$RR'' + \frac{3}{2}R'^2 = (P(R) - P(t)) / \rho \quad (1.1)$$

Здесь $P(R)$ — давление внутри пузырька, $P(t)$ — приложенное давление, ρ — плотность жидкости, R — радиус пузырька; точка означает полную производную по времени. При $P(t) = \text{const}$ и при условии адабатичности сжатия пузырька из уравнения (1.1) легко получить

$$(R_0/R_*)^{3\gamma-3} = 1 + A(\gamma - 1) (A = P/P_0) \quad (1.2)$$

(где γ — показатель адабаты, R_* — минимальный радиус полости, R_0 — начальный радиус, P_0 — начальное давление в пузырьке), а также определить время сжатия полости

$$t = 0.915R_0 \sqrt{\rho/p} \quad (1.3)$$

Но обычно приходится иметь дело с давлением, существенно зависящим от времени. В этом случае непосредственно из (1.1) не удается определить ни времени, ни степени сжатия пузырька.

В работе [1] приводятся результаты численного решения уравнения (1.1) в безразмерной форме

$$y \frac{d^2y}{dz^2} + \frac{3}{2} \left(\frac{dy}{dz} \right)^2 = \mu \left(\frac{1}{y^{3\gamma}} - Ae^{-z} \right) \quad \left(y = \frac{R}{R_0}, z = \frac{t}{\tau}, \mu = \left(\frac{\tau}{R_0 \sqrt{\rho/p_0}} \right)^2 \right)$$

Здесь μ — безразмерный параметр, определяющий отношение постоянной времени спада давления к характерному времени сжатия пузырька постоянным давлением P_0 . Расчет приведен для случая волн экспоненциального профиля с $A = 10, 100, 1000$ при изменении μ от 0.01 до 1000. Анализ показал, что пульсация пузырька под действием давления с различными τ подчиняется определенной закономерности

$$(t_2^* / \tau_2) = (1.2 - k \sqrt{\mu_2 / \mu_1})^{1/k} (\mu_1 / \mu_2)^{1/2} (t_1^* / \tau_1) \quad (1.4)$$

Здесь t_2^* — искомое время сжатия пузырька для волн с τ_2 при известном t_1^* для волн той же амплитуды, но с τ_1 (давление во фронте волны входит в последнее уравнение через t_1^*). Показатель k определяется из условия

$$10^k = \left(\frac{\mu_1}{\mu_2} \right)^{1/2} \quad (1.5)$$

Как видно из (1.4), связь между временами сжатия пузырька волнами давления с различными τ с точностью до постоянного коэффициента определяется корнем квадратным из отношения безразмерных параметров μ , характерных для этих волн. Выражение (1.4) дает возможность, например, зная время сжатия пузырька волной с постоянным давлением за фронтом, определить время сжатия этого пузырька волной с той же амплитудой, но с очень маленьким τ , причем μ_1 выбирается так, чтобы удовлетворялась зависимость (1.3).

Другой характеристикой пульсирующего пузырька будет минимальный радиус сжатия. Связь между минимальным радиусом, амплитудой давления и характеристикой постоянной волны давления можно, по аналогии с выражением (1.2), записать в виде

$$\left(\frac{R_0}{R_*} \right)^{3\gamma-3} = 1 + \frac{\mu A^2 (\gamma - 1)}{1 + \mu A} \quad (1.6)$$

Отсюда видно, что при $\mu \rightarrow \infty$, т. е. для волн с постоянным давлением за фронтом, это выражение переходит в (1.2).

Проведенные по уравнениям (1.4) и (1.6) расчеты для различных A и μ ($R_0 = 1$ см) сведены в табл. 1 и 2, где они сравниваются с данными работы [1] (в таблицах результаты машинного счета имеют индекс 1, а результаты расчета по зависимостям (1.4) и (1.6) — индекс 2). Полученные зависимости (1.4) и (1.6) вполне пригодны для при-

Таблица 1

| A | μ | γ | $\tau, \text{сек}$ | $(R^*/R_0)_1$ | $(R^*/R_0)_2$ |
|------|---------------|----------|--------------------|---------------|---------------|
| 10 | $\infty (10)$ | 1.4 | 0.00316 | 0.262 | 0.262 |
| 10 | 1 | 1.4 | 0.001 | 0.307 | 0.280 |
| 10 | 0.1 | 1.4 | 0.000316 | 0.404 | 0.400 |
| 10 | 0.01 | 1.4 | 0.0001 | 0.738 | 0.772 |
| 100 | $\infty (10)$ | 1.4 | 0.00316 | 0.046 | 0.046 |
| 100 | 1 | 1.4 | 0.001 | 0.048 | 0.0457 |
| 100 | 0.1 | 1.4 | 0.000316 | 0.053 | 0.0490 |
| 100 | 0.01 | 1.4 | 0.0001 | 0.074 | 0.0793 |
| 10 | $\infty (10)$ | 1.33 | 0.00316 | 0.247 | 0.235 |
| 10 | 1 | 1.33 | 0.001 | 0.277 | 0.250 |
| 10 | 0.1 | 1.33 | 0.000316 | — | 0.377 |
| 10 | 0.01 | 1.33 | 0.0001 | 0.732 | 0.768 |
| 100 | $\infty (10)$ | 1.33 | 0.00316 | 0.030 | 0.0294 |
| 100 | 1 | 1.33 | 0.001 | 0.031 | 0.0306 |
| 100 | 0.1 | 1.33 | 0.000316 | 0.035 | 0.0323 |
| 100 | 0.01 | 1.33 | 0.0001 | 0.052 | 0.0570 |
| 1000 | $\infty (1)$ | 1.33 | 0.001 | 0.00304 | 0.00302 |
| 1000 | 0.1 | 1.33 | 0.000316 | 0.00317 | 0.00302 |
| 1000 | 0.01 | 1.33 | 0.0000 | 0.00358 | 0.00333 |
| 10 | $\infty (10)$ | 1.67 | 0.00316 | 0.382 | 0.361 |
| 10 | 1 | 1.67 | 0.001 | 0.413 | 0.376 |
| 10 | 0.1 | 1.67 | 0.000316 | 0.498 | 0.48 |
| 10 | 0.01 | 1.67 | 0.0001 | 0.764 | 0.78 |
| 100 | $\infty (10)$ | 1.67 | 0.00316 | 0.123 | 0.121 |
| 100 | 1 | 1.67 | 0.001 | 0.126 | 0.122 |
| 100 | 0.1 | 1.67 | 0.000316 | 0.136 | 0.127 |
| 100 | 0.01 | 1.67 | 0.0001 | 0.167 | 0.170 |
| 1000 | $\infty (1)$ | 1.67 | 0.001 | 0.0386 | 0.0387 |
| 1000 | 0.1 | 1.67 | 0.000316 | 0.040 | 0.0390 |

ближенных оценок основных характеристик пульсации пузырька в несжимаемой жидкости под действием давления, сильно меняющегося во времени.

2. Ограничение в вопросах пульсации пузырька рамками несжимаемой жидкости приводит к значительным отклонениям действительных характеристик пульсации от расчетных, если рассматриваются случаи, в которых стенки полости достигают скоростей порядка скорости звука. Последнее имеет место, например, в вопросах кавитации и сопровождающих ее явлениях. Теория захлопывания пустых пузырьков в своей первой же постановке привела к выводу о необходимости учета сжимаемости ввиду огромных значений скоростей и давлений, получаемых в результате захлопывания. Аналогичное наблюдается и при сжатии газонаполненной полости под действием больших давлений. Рассмотрим сферически симметричную задачу пульсации газового пузырька в сжимаемой невязкой жидкости. Скорость частицы $U^{(1)}$ заменим градиентом потенциала скорости φ , и систему уравнений запишем как

$$\frac{\partial}{\partial t} (-\nabla \varphi) + (\mathbf{U} \cdot \nabla) \mathbf{U} = -\frac{\nabla P}{\rho}, \quad \nabla \cdot \mathbf{U} = -\frac{1}{\rho} \frac{dp}{dt} \quad (2.1)$$

Здесь P — давление, ρ — плотность жидкости. Интегрирование (2.1) дает

$$-\frac{\partial \varphi}{\partial t} + \frac{v^2}{2} = - \int_{P_\infty}^P \frac{dp}{\rho} = -h \quad (2.2)$$

если h — разность энтальпий между точкой r и бесконечностью. Предполагается, что P_∞ на бесконечности постоянно, скорость и потенциал скорости на бесконечности исчезают, ρ — функция только давления. При использовании

$$\varphi = \frac{1}{r} f \left(t - \frac{r}{c} \right) \quad (2.3)$$

уравнение (2.3) перепишется так:

$$r(h + \frac{1}{2}U^2) = f'(t - r/c) \quad (2.4)$$

Таблица 2

| A | μ | γ | $\tau, \text{сек}$ | t_1^*/τ_1 | t_2^*/τ_2 |
|------|-------|----------|--------------------|----------------|----------------|
| 10 | 1000 | 1.4 | 0.0316 | 0.04 | 0.01 |
| 10 | 100 | 1.4 | 0.0100 | 0.0325 | 0.0323 |
| 10 | 10 | 1.4 | 0.00316 | 0.105 | 0.110 |
| 10 | 1 | 1.4 | 0.001 | 0.35 | 0.37 |
| 10 | 0.1 | 1.4 | 0.000316 | 1.27 | 1.38 |
| 10 | 0.01 | 1.4 | 0.0001 | 5.11 | 5.00 |
| 100 | 10 | 1.4 | 0.00316 | 0.0294 | 0.0294 |
| 100 | 1 | 1.4 | 0.001 | 0.0939 | 0.0950 |
| 100 | 0.1 | 1.4 | 0.000316 | 0.308 | 0.323 |
| 100 | 0.01 | 1.4 | 0.0001 | 1.096 | 1.130 |
| 10 | 100 | 1.33 | 0.01 | 0.0325 | 0.0323 |
| 10 | 10 | 1.33 | 0.00316 | 0.405 | 0.410 |
| 10 | 1 | 1.33 | 0.001 | 0.350 | 0.373 |
| 10 | 0.01 | 1.33 | 0.0001 | 5.11 | 5.00 |
| 100 | 10 | 1.33 | 0.00316 | 0.0294 | 0.0294 |
| 100 | 1 | 1.33 | 0.001 | 0.0939 | 0.0950 |
| 100 | 0.1 | 1.33 | 0.000316 | 0.307 | 0.323 |
| 100 | 0.01 | 1.33 | 0.0001 | 1.094 | 1.130 |
| 1000 | 1 | 1.33 | 0.001 | 0.029 | 0.029 |
| 1000 | 0.1 | 1.33 | 0.000316 | 0.093 | 0.094 |
| 1000 | 0.01 | 1.33 | 0.0001 | 0.304 | 0.319 |
| 10 | 10 | 1.67 | 0.00316 | 0.405 | 0.410 |
| 10 | 1 | 1.67 | 0.001 | 0.35 | 0.373 |
| 10 | 0.1 | 1.67 | 0.000316 | 1.19 | 1.380 |
| 10 | 0.01 | 1.67 | 0.0001 | 5.11 | 5.00 |
| 100 | 10 | 1.67 | 0.00316 | 0.0295 | 0.0295 |
| 100 | 1 | 1.67 | 0.001 | 0.0944 | 0.095 |
| 100 | 0.1 | 1.67 | 0.000316 | 0.309 | 0.323 |
| 100 | 0.01 | 1.67 | 0.0001 | 1.100 | 1.130 |
| 1000 | 1 | 1.67 | 0.001 | 0.029 | 0.029 |
| 1000 | 0.1 | 1.67 | 0.000316 | 0.093 | 0.094 |

Уравнения (2.4) и (2.5) показывают, что $r\varphi$ и $r(h + \frac{1}{2}U^2)$ в акустическом приближении распространяются со скоростью C (местная скорость звука). На основании того, что скорости жидкости могут достигать значений порядка скорости звука, Кирквудом [2] было сделано предположение о распространении $r(h + \frac{1}{2}U^2)$ со скоростью $C + U$. На основании сделанных предположений запишем [3, 4]

$$\frac{\partial}{\partial t} \left[r \left(h + \frac{U^2}{2} \right) \right] = -(C + U) \frac{\partial}{\partial r} \left[r \left(h + \frac{U^2}{2} \right) \right] \quad (2.5)$$

Раскрывая уравнение (2.5) при использовании

$$\frac{dU}{dt} = -\frac{\partial h}{\partial r}, \quad \frac{\partial U}{\partial r} + \frac{2U}{r} = -\frac{1}{C^2} \frac{dh}{dt} \quad \left(\frac{d}{dt} = \frac{\partial}{\partial t} + U \frac{\partial}{\partial r} \right) \quad (2.6)$$

получаем закон движения стенки газового пузырька

$$RR'' \left(1 - \frac{R'}{C} \right) + \frac{3}{2} R'^2 \left(1 - \frac{1}{3} \frac{R'}{C} \right) = H \left(1 + \frac{R'}{C} \right) + \frac{RH'}{C} \left(1 - \frac{R'}{C} \right) \quad (2.7)$$

Однако необходимо выяснить, в какой мере полученное уравнение (2.7) отвечает точным уравнениям течения (2.1). Очевидно, что для наиболее полного определения возможностей предположения Кирквуда необходимо рассмотреть случай сжатия пустой полости, который позволит исследовать поведение полученной зависимости в широком диапазоне скоростей стенки полости (от 0 до ∞).

Численное интегрирование уравнений (2.1), проведенное Хантером [5] для сферически симметричной пустой полости в воде, обнаружило большие скорости течения вблизи точки схлопывания. Найдено, что при этом радиус полости оказывается пропорциональным $(-t)^n$ ($t = 0$ — момент схлопывания). Течение в окрестности точки схлопывания описывается автомодельным решением, из которого определяется величина n . В работах [5, 6] n найдено равным 0.5552. Записав уравнение (2.7) для случая пустой полости (т. е. полагая $C = \text{const}$ и $H = \text{const}$), получим

$$RR'' \left(1 - \frac{R'}{C} \right) + \frac{3}{2} R'^2 \left(1 - \frac{1}{3} \frac{R'}{C} \right) = H \left(1 + \frac{R'}{C} \right) \quad (2.8)$$

Отсюда

$$\left(\frac{R_0}{R} \right)^3 = \left(1 - \frac{1}{3} \frac{R'}{C} \right)^4 \left[1 + \frac{3}{2} \frac{C^2}{H} \left(\frac{R'}{C} \right)^2 \right] \quad (2.9)$$

Подставляя в уравнение (2.9) решение Хантера [5] в виде $R \sim At^n$, легко получить для $t \rightarrow 0$ значение n . Оно оказывается равным 0.666. А для случая несжимаемой жидкости $n = 0.4$, т. е. в окрестности точки схлопывания поведение стенки полости по Кирквуду настолько же далеко от результата Хантера, как и в несжимаемом случае. Повторение приведенных выше рассуждений для акустического случая приводит к

$$RR'' \left(1 + \frac{2R'}{C} \right) + \frac{3}{2} R'^2 \left(1 - \frac{4}{3} \frac{R'}{C} \right) = H + \frac{RH'}{C} \left(1 - \frac{R'}{C} + \frac{R'^2}{C^2} \right) \quad (2.10)$$

которое в случае пустой полости дает значение $n = 0.5$, т. е. точное решение лежит между акустикой и расчетом по Кирквуду. Следует отметить, что уравнение (2.10) — не что иное, как уравнение Геринга [2], хотя последнее было получено другим способом, чем описанный выше. Из полученных значений n можно заключить, что скорость распространения величины $r(h + U^2/2)$ лежит между C и $C + U$. Предположим, что распространение происходит со скоростью $C + \alpha U$, где $\alpha = \text{const}$. В этом случае имеем

$$\left(\frac{R_0}{R} \right)^3 = \left[1 + \frac{3}{2} \frac{C^2}{H} \left(\frac{R'}{C} \right)^2 \right] \left[1 + \left(\alpha - \frac{4}{3} \right) \frac{R'}{C} \right]^{-4/3/(\alpha-4/3)} \quad (2.11)$$

Подставляя сюда $R = At^{0.555}$, легко получить значение α в окрестности точки схлопывания (при бесконечной скорости стенки), оно оказывается равным 0.57. Анализ поведения уравнения (2.11) при различных R'/C показал, что в некотором приближении (в каждый момент находилось α , соответствующее кривой Хантера) α будет монотонно убывающей функцией R'/C , которая изменяет свои значения от 1 до 0.57 при $R' \rightarrow 0$. Однако это не исключает возможности приближенного описания процесса схлопывания с использованием некоторого постоянного значения α . Необходимо отметить, что уравнение (2.11) довольно удобно, так как при различных α оно может переходить в уравнение Кирквуда ($\alpha = 1$), в уравнение с акустическим приближением ($\alpha = 0$) или любое промежуточное.

Таблица 3

| $-R^*/C$ | $(R/R_0)_1$ | $(R/R_0)_2$ | $(R/R_0)_3$ | $(R/R_0)_4$ | $(R/R_0)_5$ |
|----------|----------------------|-----------------------|----------------------|----------------------|----------------------|
| 1.46 | $1.48 \cdot 10^{-2}$ | $1.41 \cdot 10^{-2}$ | $1.68 \cdot 10^{-3}$ | $1.54 \cdot 10^{-2}$ | $2.40 \cdot 10^{-2}$ |
| 2.05 | $1.00 \cdot 10^{-2}$ | $9.56 \cdot 10^{-3}$ | $1.24 \cdot 10^{-2}$ | $1.10 \cdot 10^{-2}$ | $1.92 \cdot 10^{-2}$ |
| 2.50 | $7.84 \cdot 10^{-3}$ | $7.48 \cdot 10^{-3}$ | $1.03 \cdot 10^{-2}$ | $8.92 \cdot 10^{-3}$ | $1.68 \cdot 10^{-2}$ |
| 2.93 | $6.42 \cdot 10^{-3}$ | $6.08 \cdot 10^{-3}$ | $8.90 \cdot 10^{-3}$ | $7.55 \cdot 10^{-3}$ | $1.51 \cdot 10^{-2}$ |
| 3.56 | $5.00 \cdot 10^{-3}$ | $4.66 \cdot 10^{-3}$ | $7.40 \cdot 10^{-3}$ | $6.10 \cdot 10^{-3}$ | $1.33 \cdot 10^{-2}$ |
| 4.00 | $4.27 \cdot 10^{-3}$ | $3.97 \cdot 10^{-3}$ | $6.62 \cdot 10^{-3}$ | $5.37 \cdot 10^{-3}$ | $1.23 \cdot 10^{-2}$ |
| 4.62 | $3.56 \cdot 10^{-3}$ | $3.22 \cdot 10^{-3}$ | $5.80 \cdot 10^{-3}$ | $4.56 \cdot 10^{-3}$ | $1.12 \cdot 10^{-2}$ |
| 5.50 | $2.85 \cdot 10^{-3}$ | $2.49 \cdot 10^{-3}$ | $4.90 \cdot 10^{-3}$ | $3.73 \cdot 10^{-3}$ | $1.00 \cdot 10^{-2}$ |
| 6.88 | $2.14 \cdot 10^{-3}$ | $1.75 \cdot 10^{-3}$ | $3.94 \cdot 10^{-3}$ | $2.87 \cdot 10^{-3}$ | $8.55 \cdot 10^{-3}$ |
| 9.50 | $1.43 \cdot 10^{-3}$ | $1.03 \cdot 10^{-3}$ | $2.96 \cdot 10^{-3}$ | $1.96 \cdot 10^{-3}$ | $6.90 \cdot 10^{-3}$ |
| 11.30 | $1.14 \cdot 10^{-3}$ | $7.66 \cdot 10^{-4}$ | $2.44 \cdot 10^{-3}$ | $1.59 \cdot 10^{-3}$ | $6.13 \cdot 10^{-3}$ |
| 19.50 | $5.70 \cdot 10^{-4}$ | $2.91 \cdot 10^{-4}$ | $1.43 \cdot 10^{-3}$ | $8.20 \cdot 10^{-4}$ | $4.26 \cdot 10^{-3}$ |
| 50.00 | $1.72 \cdot 10^{-4}$ | $4.90 \cdot 10^{-5}$ | $5.62 \cdot 10^{-4}$ | $2.56 \cdot 10^{-4}$ | $2.28 \cdot 10^{-3}$ |
| 80.00 | $9.42 \cdot 10^{-5}$ | $2.10 \cdot 10^{-5}$ | $3.51 \cdot 10^{-4}$ | $1.41 \cdot 10^{-4}$ | $1.67 \cdot 10^{-3}$ |
| 100.00 | $7.16 \cdot 10^{-5}$ | $1.34 \cdot 10^{-5}$ | $2.81 \cdot 10^{-4}$ | $1.07 \cdot 10^{-4}$ | $1.44 \cdot 10^{-3}$ |
| 200.00 | $2.97 \cdot 10^{-5}$ | $3.33 \cdot 10^{-6}$ | $1.41 \cdot 10^{-4}$ | $4.38 \cdot 10^{-5}$ | $9.08 \cdot 10^{-4}$ |
| 300.00 | $1.78 \cdot 10^{-5}$ | $1.49 \cdot 10^{-6}$ | $9.40 \cdot 10^{-5}$ | $2.62 \cdot 10^{-5}$ | $6.92 \cdot 10^{-4}$ |
| 400.00 | $1.24 \cdot 10^{-5}$ | $8.40 \cdot 10^{-7}$ | $7.02 \cdot 10^{-5}$ | $1.82 \cdot 10^{-5}$ | $5.70 \cdot 10^{-4}$ |
| 500.00 | $9.27 \cdot 10^{-6}$ | $5.33 \cdot 10^{-7}$ | $5.60 \cdot 10^{-5}$ | $1.36 \cdot 10^{-5}$ | $4.90 \cdot 10^{-4}$ |
| 600.00 | $7.37 \cdot 10^{-6}$ | $3.72 \cdot 10^{-7}$ | $4.70 \cdot 10^{-5}$ | $1.07 \cdot 10^{-5}$ | $4.35 \cdot 10^{-4}$ |
| 700.00 | $6.06 \cdot 10^{-6}$ | $2.72 \cdot 10^{-7}$ | $4.01 \cdot 10^{-5}$ | $8.93 \cdot 10^{-6}$ | $3.94 \cdot 10^{-4}$ |
| 800.00 | $5.11 \cdot 10^{-6}$ | $2.09 \cdot 10^{-7}$ | $3.52 \cdot 10^{-5}$ | $7.50 \cdot 10^{-6}$ | $3.58 \cdot 10^{-4}$ |
| 900.00 | $4.38 \cdot 10^{-6}$ | $1.65 \cdot 10^{-7}$ | $3.13 \cdot 10^{-5}$ | $6.47 \cdot 10^{-6}$ | $3.33 \cdot 10^{-4}$ |
| 1000.0 | $3.85 \cdot 10^{-6}$ | $1.34 \cdot 10^{-7}$ | $2.82 \cdot 10^{-5}$ | $5.65 \cdot 10^{-6}$ | $3.10 \cdot 10^{-4}$ |
| 10000.0 | $2.07 \cdot 10^{-7}$ | $1.34 \cdot 10^{-9}$ | $2.82 \cdot 10^{-6}$ | $3.00 \cdot 10^{-7}$ | $6.60 \cdot 10^{-5}$ |
| 100000.0 | $1.11 \cdot 10^{-8}$ | $1.34 \cdot 10^{-11}$ | $2.82 \cdot 10^{-7}$ | $1.62 \cdot 10^{-8}$ | $1.44 \cdot 10^{-5}$ |

В табл. 3 приведены следующие данные:

- (1) численного интегрирования уравнений течения — Хантер;
(2) расчета с предположением Кирквуда по уравнению

$$\left(\frac{R_0}{R}\right)^3 = \left[1 + \frac{3}{2} \frac{C^2}{-H} \left(\frac{R^*}{C}\right)^2\right] \left[1 - \frac{4}{3} \frac{R^*}{C}\right]^4 \quad (2.12)$$

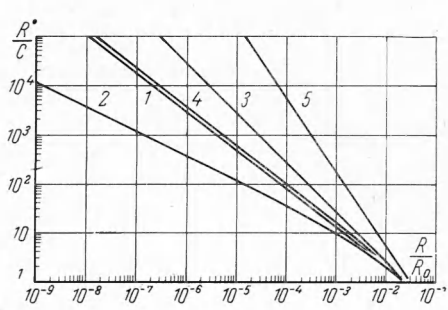
- (3) расчета акустического варианта

$$\left(\frac{R_0}{R}\right)^3 = \left[1 + \frac{3}{2} \frac{C^2}{-H} \left(\frac{R^*}{C}\right)^2\right] \left[1 - \frac{4}{3} \frac{R^*}{C}\right] \quad (2.13)$$

- (4) расчета в предположении о распространении со скоростью $C + 0.6 U$

$$\left(\frac{R_0}{R}\right)^3 = \left[1 + \frac{3}{2} \frac{C^2}{-H} \left(\frac{R^*}{C}\right)^2\right] \left[1 - 0.73 \frac{R^*}{C}\right]^{1.82} \quad (2.14)$$

- (5) расчета для несжимаемой жидкости



Фиг. 1

$$\left(\frac{R_0}{R}\right)^3 = \left[1 + \frac{3}{2} \frac{C^2}{-H} \left(\frac{R^*}{C}\right)^2\right] \quad (2.15)$$

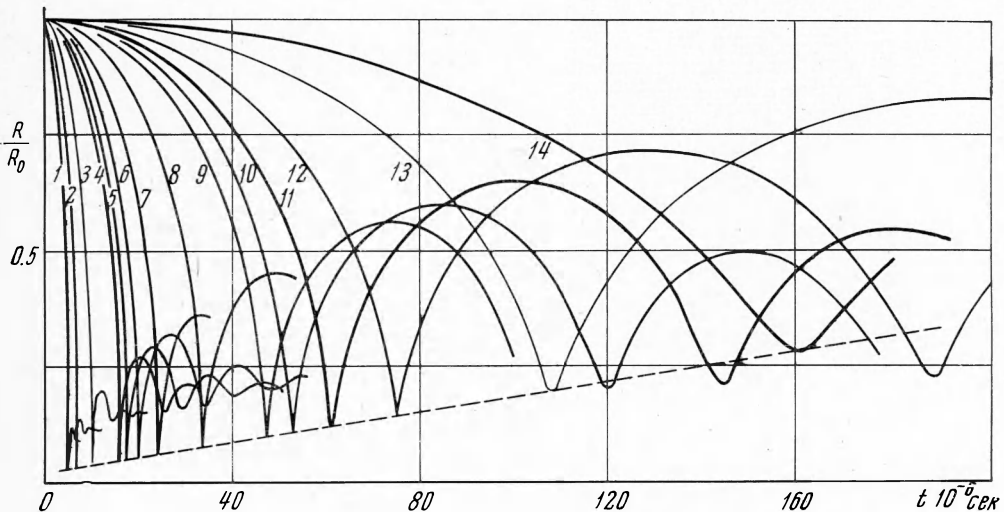
На фиг. 1 приведена зависимость величины R^*/C от R/R_0 , построенная по данным таблицы. Как легко заметить, предположение Кирквуда отвечает действительности при R^*/C порядка 1 и ниже [?], а при больших скоростях оно просто не выполняется. Это вполне естественно, если учесть, что скорость $C + U$ справедлива для плоского случая. Акустический вариант тоже довольно существенно отличается от кривой Хантера, а в области R^*/C от 1 до 10 значительно сильнее искажает точные данные, чем кривая Кирквуда. Введение в скорость распространения условно некоторое значение оценки в поведении величины

коэффициента α позволяет провести $C + U$ по мере роста скорости стенки пузырька.

С учетом полученного результата был произведен расчет пульсации сферического пузырька диаметром 1 см под действием внезапно приложенного постоянного давления, амплитуда которого менялась в диапазоне от 10 до 18000 атм. Рассматривался воздушный пузырек с начальным давлением 1 атм. Расчет производился на ЭВМ по уравнению (2.7). Уравнение состояния воды считалось по [2]. Результаты расчета приведены на фиг. 2. Номера соответствуют амплитудам давлений в атм.— 18000, 9000, 3000, 1000, 800, 600, 400, 200, 100, 80, 60, 40, 20, 10. Пунктирная прямая соединяет все первые минимумы пульсаций. Из графика легко можно найти, что R^*/R_0 прямо пропорционально времени сжатия полости

$$R^*/R_0 = At_{t_*} + 0.025 \quad (2.16)$$

Время сжатия t_* довольно точно определяется выражением (1.3), а $A = 5/3 \cdot 10^3 \text{ сек}^{-1}$ легко находится из графика.



Фиг. 2

Были проведены некоторые эксперименты на гидродинамической ударной трубе по определению пульсаций пузырьков воздуха при давлениях в несколько сот атмосфер со слабо меняющимся давлением за фронтом. Методика проведения эксперимента и описание установки приведены в работе [8], там же приведена характерная развертка пульсации пузырька во времени. Данные по степени и времени сжатия соответствуют расчетным.

В заключение автор благодарит Л. Трохан за существенную помощь при расчетах на ЭВМ.

Поступила 12 IX 1966

ЛИТЕРАТУРА

- Соловухин Р. И. О пульсациях пузырьков газа в несжимаемой жидкости Уч. совет по народнохоз. использованию взрыва, 18, Новосибирск, 1961.
- Коул Р. Подводные взрывы. Изд. Иностр. лит., 1950.
- Gilmore F. The growth or collapse of a spherical bubble in a viscous compressible fluid. Hydrodynamic Labor., California Institute, Rep., 1952, No. 24—4 (April 1).
- Меллен Р. Экспериментальное изучение захлопывания сферической полости в воде Сб. «Проблемы современной физики», 1957.
- Хантэр К. О захлопывании пустой полости в воде. Механика. Сб. перев. и обз. ин. период. лит., 1961, № 3.
- Брушлинский К. В., Каждан Я. М. Об автомодельных решениях некоторых задач газовой динамики. Успехи матем. наук, 1963, т. 18, № 2.
- Hickling R., Plesset M. Collapse and Rebound of a Spherical Bubble in Water. J. Phys. Fluids, 1964, vol. 7, № 1.
- Воротников М. И., Кедринский В. К., Соловухин Р. И. Ударная трубка для исследования одномерных волн в жидкости. Научно-техн. пробл. горения и взрыва, 1965, № 1.